

В.Э. Адлер · Классические интегрируемые системы

Лекция 6 · 11 марта 2024

## Конечнозонные решения КдФ

- Стационарные уравнения для высших симметрий (уравнения Новикова)
- Общее решение в виде бегущей волны (кноидальная волна)
- Эллиптические функции
- Численное построение двухфазного решения
- Произвольное  $n$ : понижение порядка, уравнения Дубровина
- Интегрирование в квадратурах

# Уравнения Новикова

Мы установили, что уравнение КдФ

$$u_t = u_{xxx} - 6uu_x \quad (1)$$

допускает бесконечную последовательность высших симметрий, которые строятся при помощи оператора рекурсии:

$$u_{t_{2n+1}} = g_{2n+1} = R^n(u_x), \quad R = D^2 - 4u - 2u_x D^{-1}. \quad (2)$$

Первые несколько симметрий ( $u_1 = u_x$ ,  $u_2 = u_{xx}$ , ...):

$$u_{t_1} = u_1, \quad (\text{сдвиг по } x)$$

$$u_{t_3} = u_3 - 6uu_1, \quad (\text{сдвиг по } t)$$

$$u_{t_5} = D(u_4 - 10uu_2 - 5u_1^2 + 10u^3),$$

$$u_{t_7} = D(u_6 - 14uu_4 - 28u_1u_3 - 21u_2^2 + 70u^2u_2 + 70uu_1^2 - 35u^4),$$

...

и так далее.

Симметрией является и произвольная линейная комбинация конечного числа этих потоков. Наша цель сегодня — исследовать стационарное уравнение для такой симметрии, то есть, ОДУ порядка  $2n + 1$  вида

$$G = g_{2n+1} + c_1 g_{2n-1} + \dots + c_n g_1 = 0, \quad (3)$$

что впервые было сделано в статье

- С.П. Новиков. Периодическая задача для уравнения Кортевега–де Фриза. *Функц. анализ и его прил.*, **8:3** (1974) 54–66.

Согласно определению симметрии, (3) определяет связь, совместную с динамикой по  $t$  в силу КдФ, так как выполняется тождество

$$D_t(G) = (D^3 - 6uD - 6u_1)(G) = 0.$$

Уравнение (3) допускает понижение порядка. Так как все  $g_{2j-1} = D(a_j)$ ,  $j = 1, \dots, n + 1$  — полные производные по  $x$ , то оно сводится к уравнению порядка  $2n$

$$F = a_{n+1} + c_1 a_n + \dots + c_n a_1 + c_{n+1} = 0. \quad (4)$$

Совместность с динамикой по  $t$  не нарушается, при условии, что постоянная интегрирования  $c_{n+1}$  не зависит от  $t$ : можно проверить, что

$$D_t(F) = (D^3 - 6uD)(F) = 0.$$

- Уравнение (3) можно записать в виде

$$u_{t_{2n+1}} + c_1 u_{t_{2n-1}} + \dots + c_n u_{t_1} = 0$$

— это линейное УЧП первого порядка, общее решение которого (по методу характеристик) представимо в виде

$$u = F(c_1 t_{2n+1} - t_{2n-1}, c_2 t_{2n+1} - t_{2n-3}, \dots, c_n t_{2n+1} - t_1),$$

то есть,  $u$  — функция от  $n$  линейных «фаз». Поэтому, решения уравнения Новикова иногда называют  *$n$ -фазными*. Конечно, в этом «ответе» функция  $F$  не произвольна и нуждается в определении.

- Другое название —  *$n$ -зонные* решения, будет объяснено чуть позже.
- Уравнение (4) допускает дальнейшее понижение порядка. Наша цель — показать, что порядок понижается до  $n$  за счёт алгебраических первых интегралов, а затем можно ввести ещё  $n - 1$  дополнительных первых интегралов при помощи квадратур.
- В результате, решение уравнения (4) сводится к квадратурам и обращению неявных функций. Этот последний этап — самый сложный. Конструктивно, он осуществляется при помощи тэта-функций от многих переменных.

# 1-зонное решение

При  $n = 1$  имеем уравнение

$$u_{xxx} - 6uu_x + cu_x = 0 \quad \Leftrightarrow \quad u_t + cu_x = 0.$$

Это решение в виде бегущей волны  $u(x, t) = u(x - ct)$ , которое уже рассматривалось на первой лекции. Двукратное интегрирование даёт

$$\begin{aligned} u_{xx} &= 3u^2 - cu + c_1/2 \quad \Rightarrow \quad \left| \times 2u_x \right| \\ u_x^2 &= 2u^3 - cu^2 + c_1u + c_2 = P(u). \end{aligned}$$

Ранее мы требовали, чтобы решение было быстроубывающим, что фиксировало значения первых интегралов  $c_1 = c_2 = 0$ . Теперь не делаем этого, пусть  $c_1, c_2$  произвольны. Механическая интерпретация — движение частицы в поле с кубическим потенциалом  $-\frac{1}{2}P(u)$  см. напр.

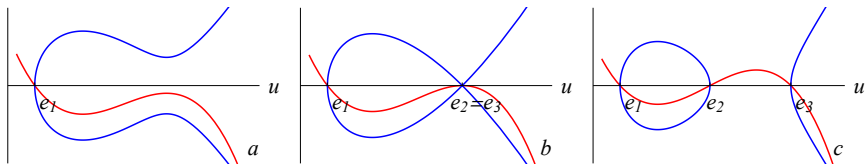
- Л.Д. Ландау, Е.М. Лифшиц. Теоретическая физика. Т.1, Механика (§11). М.: Наука, 1988.

При этом  $u$  — координата частицы,  $x$  играет роль времени,  $c_2$  — энергия, её мы включили в потенциал, так что частица находится на нулевом уровне энергии.

Функция  $u$  находится в неявном виде при помощи квадратуры:

$$\int \frac{du}{\sqrt{P(u)}} = x - ct + \delta.$$

Это неполный эллиптический интеграл. Если корни  $P$  различны, то он не берётся в элементарных функциях. Тем не менее, легко понять, как нужно выбирать константы и начальное условие, чтобы решение было ограниченным на вещественной оси.



■ кривая  $y^2 = P(u)$ ,      ■ график многочлена  $y = -\frac{1}{2}P(u)$

В зависимости от расположения корней  $P$  возможны три случая (пять, с учётом вырождений  $e_1 = e_2$  и  $e_1 = e_2 = e_3$ ).

Три типа движения:

- Движение по овалу — частица в потенциальной яме, ограниченное периодическое движение.
- Неограниченные ветви на рис. *a* и *c* — частица за конечное время уходит на бесконечность (полюсные решения).
- Петля на рис. *b* получается, если край ямы находится точно на нулевом уровне энергии. Ей отвечает сепаратрисное решение — предельный случай периодического движения с бесконечно большим периодом. Это и есть солитон.



# Эллиптические функции

Уравнение для  $u$  совпадает, с точностью до линейной замены, с уравнением для эллиптической функции Вейерштрасса  $\wp(z; g_2, g_3)$

$$(\wp')^2 = 4\wp^3 - g_2\wp - g_3.$$

Начальное условие:  $\wp(z) = \frac{1}{z^2} + \frac{g_2}{20}z^2 + \frac{g_3}{28}z^4 + \dots$  при  $z \rightarrow 0$ .

Общее определение: эллиптические функции — это аналитические функции  $f(z)$  такие, что  $f(z + \omega_1) = f(z + \omega_2) = f(z)$ ,  $\omega_1, \omega_2 \in \mathbb{C}$ .

Для  $\wp$ , параметры  $g_2$  и  $g_3$  выражаются через периоды  $\omega_1, \omega_2$  (как некоторые ряды).

Произвольная э.ф. с теми же периодами представима как рациональная функция от  $\wp$ ,  $\wp'$ .

- А.Гурвиц, Р. Курант. Теория функций. М.: Наука, 1968.
- Н.И. Ахиезер. Элементы теории эллиптических функций. М.: Наука, 1970.
- А.И. Маркушевич. Замечательные синусы. М.: Наука, 1974.

Класс уравнений

$$(y')^2 = P(y), \quad \deg P \leq 4 \quad (5)$$

сохраняется при дробно-линейных заменах  $Y = \frac{\alpha y + \beta}{\gamma y + \delta}$ :

$$(Y')^2 = Q(Y), \quad P(y) = \frac{(\gamma y + \delta)^4}{(\alpha \delta - \beta \gamma)^2} Q\left(\frac{\alpha y + \beta}{\gamma y + \delta}\right).$$

Другие важные функции:  $\zeta(z)$  (мероморфная с простыми полюсами),  $\sigma(z)$  и  $\theta(z)$  (целые)

$$\wp(z) = -\zeta'(z) = -(\sigma'(z)/\sigma(z))';$$

$$\sigma(z) = k_1 e^{k_2 z^2 + k_3 z} \theta(k_4 z + k_5; \tau),$$

где  $k_i$  — некоторые константы и

$$\theta(z, \tau) = \sum_{m \in \mathbb{Z}} e^{(m^2 \tau + 2mz)\pi i}. \quad (6)$$

Итак, ответ можно записать в виде

$$u(x, t) + C = 2\wp(x - ct + d) = -2\partial_x^2 \log \sigma(x - ct + d).$$

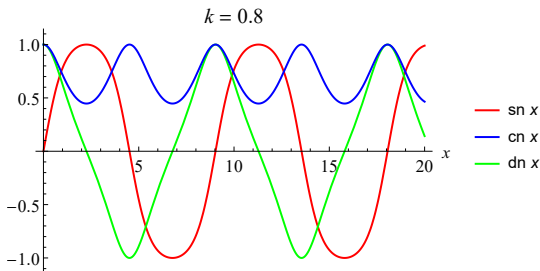
Некоторым недостатком функций Вейерштрасса является то, что в данном ответе трудно выделить вещественные решения. Для этой цели более удобны эллиптические функции Якоби.

## Функции Якоби

Функции  $\operatorname{sn}(x; k)$ ,  $\operatorname{cn}(x; k)$ ,  $\operatorname{dn}(x; k)$  — решения задачи Коши

$$\begin{aligned}(\operatorname{sn} x)' &= \operatorname{dn} x \operatorname{cn} x, & (\operatorname{cn} x)' &= -\operatorname{dn} x \operatorname{sn} x, & (\operatorname{dn} x)' &= -k^2 \operatorname{sn} x \operatorname{cn} x, \\ \operatorname{sn} 0 &= 0, & \operatorname{cn} 0 &= 1, & \operatorname{dn} 0 &= 1.\end{aligned}$$

Параметр  $k$  принимает значения  $0 \leq k \leq 1$ .



Первые интегралы:

$$\operatorname{sn}^2 x + \operatorname{cn}^2 x = 1, \quad k^2 \operatorname{sn}^2 x + \operatorname{dn}^2 x = 1.$$

Отсюда следует

$$(\operatorname{cn}' x)^2 = \operatorname{dn}^2 x \operatorname{sn}^2 x = (\operatorname{cn}^2 x - 1)(k^2 \operatorname{cn}^2 x - 1)$$

— это уравнение вида (5) (аналогичные уравнения есть и для  $\operatorname{sn}$ ,  $\operatorname{dn}$ ). Поэтому эти функции дробно-линейно связаны с  $\wp$ , но есть и другие замены. Нетрудно проверить, что если

$$u = K_1 + K_2 \operatorname{cn}^2(bx; k),$$

то  $u_x^2$  будет равно многочлену третьей степени от  $\operatorname{cn}^2$ , то есть, от самого  $u$ .

Подставляя в уравнение  $u_x^2 = P(u) = 2u^3 - cu^2 + c_1u + c_2$  и сравнивая коэффициенты при  $u^3$  и  $u^2$ , выражаем  $K_1$ ,  $K_2$  через  $b, c$  и  $k$ :

$$u(x, t) = \frac{4b^2(2k - 1) + c}{6} - 2b^2k \operatorname{cn}^2(b(x - ct) + d; k).$$

Это так называемая **кноидальная** волна.

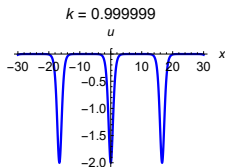
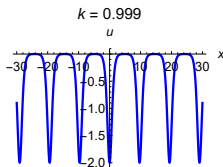
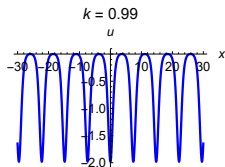
Коэффициенты  $c_1$  и  $c_2$  также выражаются через  $b$ , и  $k$ , но эти формулы особо не нужны.

За счёт растяжения можно положить  $b = 1$ . Преобразование Галилея позволяет уничтожить свободный член (что отвечает  $c = 4 - 8k$ ), тогда график будет касаться оси  $x$ . Наконец,  $d$  уничтожается сдвигом  $x$  или  $t$  и остаётся лишь один существенный параметр  $k$ :

$$u = -2k \operatorname{cn}^2(x + 8kt; k).$$

В пределе  $k \rightarrow 0$  функции Якоби переходят в обычную тригонометрию, но при этом амплитуда  $u$  стремится к 0.

Предел  $k \rightarrow 1$  отвечает солитону. Пички в кноидальной волне разъезжаются друг от друга и в пределе остается солитонное решение.



## Пример численного решения при $n = 2$

Уравнение (4) эквивалентно  $2n$ -мерной динамической системе по  $x$ , относительно переменных  $u, u_1, \dots, u_{2n-1}$ . Само уравнение КдФ тоже можно переписать как динамическую систему по  $t$  для этих переменных. Эти системы совместны, то есть, соответствующие векторные поля коммутируют. При  $n = 2$  имеем:

$$\begin{cases} u_x = u_1, \\ u_{1,x} = u_2, \\ u_{2,x} = u_3, \\ u_{3,x} = 10uu_2 + 5u_1^2 - 10u^3 - c_1(u_2 - 3u^2) - c_2u - c_3, \end{cases} \quad (7)$$

$$\begin{cases} u_t = u_3 - 6uu_1, \\ u_{1,t} = (4u - c_1)u_2 - u_1^2 - 10u^3 + 3c_1u^2 - c_2u - c_3, \\ u_{2,t} = (4u - c_1)u_3 + 2u_1u_2 - (30u^2 - 6c_1u + c_2)u_1, \\ u_{3,t} = 6u_1u_3 + 2u_2^2 + (10u^2 - 8c_1u - c_2 + c_1^2)u_2 - (40u - c_1)u_1^2 \\ \quad - 40u^4 + 22c_1u^3 - (4c_2 + 3c_1^2)u^2 + (c_1c_2 - 4c_3)u + c_1c_3. \end{cases} \quad (8)$$

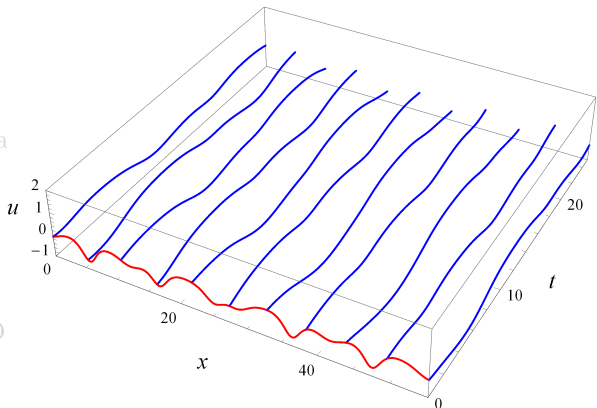
Зададим параметры и начальные условия  $u$ ,  $u_1$ ,  $u_2$ ,  $u_3$  при  $(x, t) = (0, 0)$ .

Решим численно задачу Коши для системы (7) по  $x$  до некоторого  $x_1$ .

Полученное решение в точках  $x + j\Delta x$  используем в качестве начальных условий для системы (8) по  $t$  до некоторого  $t_1$ .

Получим набор кривых, представляющих сечения графика решения, параллельные оси  $t$ . Шаг  $\Delta x$  влияет не на точность вычисления, а лишь на то, насколько плотно расположены кривые.

Меняя ролями  $x$  и  $t$ , получим сечения, параллельные оси  $x$ . Коммутативность гарантирует, что оба набора кривых пересекаются в точках сетки, так что получается некоторая поверхность. Если взять шаги достаточно маленькими, получается 3D график решения.



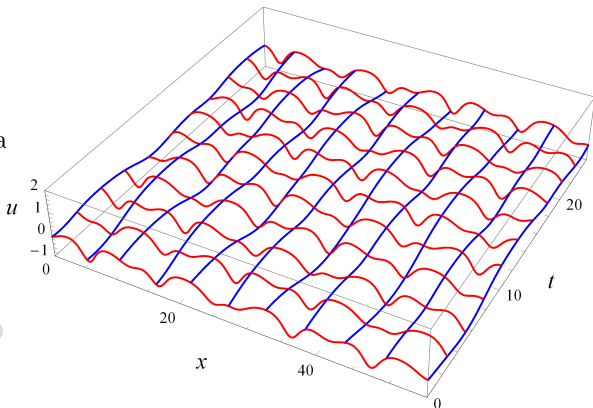
Зададим параметры и начальные условия  $u$ ,  $u_1$ ,  $u_2$ ,  $u_3$  при  $(x, t) = (0, 0)$ .

Решим численно задачу Коши для системы (7) по  $x$  до некоторого  $x_1$ .

Полученное решение в точках  $x + j\Delta x$  используем в качестве начальных условий для системы (8) по  $t$  до некоторого  $t_1$ .

Получим набор кривых, представляющих сечения графика решения, параллельные оси  $t$ . Шаг  $\Delta x$  влияет не на точность вычисления, а лишь на то, насколько плотно расположены кривые.

Меняя ролями  $x$  и  $t$ ,  
получим сечения,  
параллельные оси  $x$ .  
Коммутативность  
гарантирует, что оба набора  
кривых пересекаются в  
точках сетки, так что  
получается некоторая  
поверхность. Если взять  
шаги достаточно  
маленькими, получается 3D  
график решения.





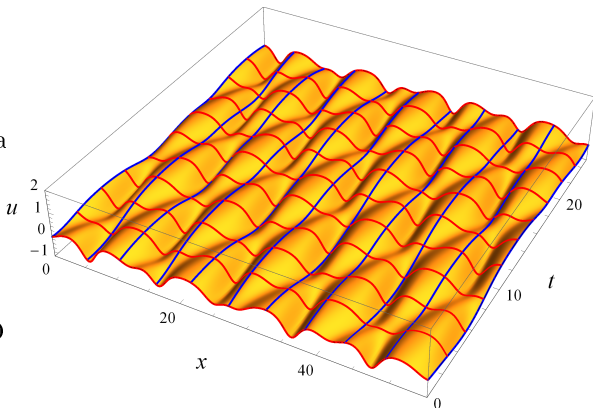
Зададим параметры и начальные условия  $u$ ,  $u_1$ ,  $u_2$ ,  $u_3$  при  $(x, t) = (0, 0)$ .

Решим численно задачу Коши для системы (7) по  $x$  до некоторого  $x_1$ .

Полученное решение в точках  $x + j\Delta x$  используем в качестве начальных условий для системы (8) по  $t$  до некоторого  $t_1$ .

Получим набор кривых, представляющих сечения графика решения, параллельные оси  $t$ . Шаг  $\Delta x$  влияет не на точность вычисления, а лишь на то, насколько плотно расположены кривые.

Меняя ролями  $x$  и  $t$ ,  
получим сечения,  
параллельные оси  $x$ .  
Коммутативность  
гарантирует, что оба набора  
кривых пересекаются в  
точках сетки, так что  
получается некоторая  
поверхность. Если взять  
шаги достаточно  
маленькими, получается 3D  
график решения.



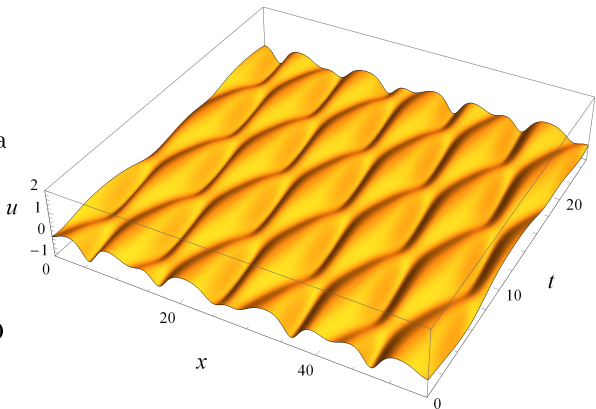
Зададим параметры и начальные условия  $u$ ,  $u_1$ ,  $u_2$ ,  $u_3$  при  $(x, t) = (0, 0)$ .

Решим численно задачу Коши для системы (7) по  $x$  до некоторого  $x_1$ .

Полученное решение в точках  $x + j\Delta x$  используем в качестве начальных условий для системы (8) по  $t$  до некоторого  $t_1$ .

Получим набор кривых, представляющих сечения графика решения, параллельные оси  $t$ . Шаг  $\Delta x$  влияет не на точность вычисления, а лишь на то, насколько плотно расположены кривые.

Меняя ролями  $x$  и  $t$ ,  
получим сечения,  
параллельные оси  $x$ .  
Коммутативность  
гарантирует, что оба набора  
кривых пересекаются в  
точках сетки, так что  
получается некоторая  
поверхность. Если взять  
шаги достаточно  
маленькими, получается 3D  
график решения.



Как и в однозонном случае, важное значение имеет выбор параметров и начальных условий. Если выбрать неудачно, то решение будет иметь полюсы: при численном счёте решение станет неограниченно расти и произойдет ошибка.

С другой стороны, если выбрать *очень* удачно, то можно получить и двухсолитонные решения — как и предыдущем примере, они являются специальными сепаратрисными решениями.

## Случай произвольного $n$

Для произвольного  $n$  в переменных  $u_j$  работать трудно. Необходимо выбрать некоторые новые координаты, что было сделано в статье

- Б.А. Дубровин. Периодическая задача для уравнения Кортевега–де Фриза в классе конечнозонных потенциалов. *Функц. анализ* **9:3** (1975) 41–51.

Сначала выпишем уравнения для некоторых многочленов от  $\lambda$  (удобно обозначить  $\mu = -4\lambda$ ). Доказательство следующего утверждения фактически дублирует вывод квадратичной формулы для производящего ряда высших симметрий, которую мы уже использовали на прошлой лекции, чтобы доказать их локальность.

**Утверждение 1.** Уравнение Новикова (4) эквивалентно уравнению

$$\mu Q^2 = 2QQ_{xx} - Q_x^2 - 4uQ^2 + P \quad (9)$$

с полиномами

$$Q(\mu) = \mu^n + q_1(x, t)\mu^{n-1} + \dots + q_n(x, t),$$
$$P(\mu) = \mu^{2n+1} + \gamma_1\mu^{2n} + \dots + \gamma_{2n+1} = \text{const}.$$

*Доказательство.* Напомним, что величины  $a_j$  из (4) служат коэффициентами производящей функции

$$A = 1/2 - a_1/\mu - \dots - a_n/\mu^n - \dots,$$

удовлетворяющей уравнению (оно эквивалентно рекуррентной схеме (2))

$$\mu A_x = A_{xxx} - 4uA_x - 2u_x A. \quad (10)$$

Уравнение Новикова (4)

$$a_{n+1} + c_1 a_n + \dots + c_n a_1 - c_{n+1}/2 = 0$$

означает в точности, что существует ряд с постоянными коэффициентами

$$C = \mu^n (1 + c_1/\mu + c_2/\mu^2 + \dots),$$

такой, что  $Q = CA$  — многочлен степени  $n$ . Он также удовлетворяет (10):

$$\mu Q_x = Q_{xxx} - 4uQ_x - 2u_x Q.$$

Это уравнение допускает интегрирующий множитель  $2Q$ , что и даёт (9) с постоянной интегрирования  $P$ . Так как  $A$  — многочлен, то и  $P$  — многочлен, причём уравнение (9) по прежнему совместно с КдФ, если  $P$  не зависит от  $t$ . ■

**Замечание 2.** При построении  $n$ -солитонных решений мы требовали существования решения уравнения Шредингера

$$\psi_{xx} = (u - \lambda)\psi,$$

полиномиального по  $z = \sqrt{-\lambda}$ , с точностью до множителя  $e^{zx+4z^3t}$  (обрыв функции Бейкера–Ахиезера). Оказывается,  $n$ -зонные решения тоже можно определить условием обрыва, но не для самих пси-функций, а для их произведения. Следующее свойство легко проверяется (ДЗ):

**Утверждение 2.** Произведение любых двух  $\psi$ -функций  $q = \psi\tilde{\psi}$  и их вронскиан  $w = \psi\tilde{\psi}_x - \psi_x\tilde{\psi}$  удовлетворяют уравнению (9)

$$2qq_{xx} - q_x^2 + 4(\lambda - u)q^2 + w^2 = 0, \quad w_x = 0.$$

В качестве  $Q$  можно взять  $Q = \psi(z)\psi(-z)$ . Если  $\psi$  — оборванный ряд по  $z$ , то  $Q$  — многочлен по  $\lambda$ . Следовательно,  $n$ -солитонные решения удовлетворяют уравнению Новикова (9).

Обратное неверно — не все решения (9) являются  $n$ -солитонными. Это лишь подкласс специальных, сепаратрисных решений, выделенных условием быстрого убывания. Для общего  $n$ -зонного решения условие полиномиальности  $\psi$ -функций не выполняется.

# Уравнения Дубровина

Нужная замена переменных — переход к нулям многочленов  $Q$ ,  $P$ . Пусть

$$\begin{aligned}Q(\mu) &= (\mu - y_1) \cdots (\mu - y_n), \\P(\mu) &= (\mu - e_1) \cdots (\mu - e_{2n+1}).\end{aligned}$$

Положим в (9)  $\mu = y_j$ . Слагаемые с  $Q^2$  и  $QQ_{xx}$  исчезнут и останется

$$Q_x^2|_{\mu=y_j} = P(y_j), \quad j = 1, \dots, n.$$

Так как

$$Q_x|_{\mu=y_j} = -y_{j,x} \prod_{i \neq j} (y_j - y_i),$$

то получается система ОДУ на переменные  $y_j$  — уравнения Дубровина

$$\frac{y_{j,x}}{\sqrt{P(y_j)}} = \frac{1}{\prod_{i \neq j} (y_j - y_i)}, \quad j = 1, \dots, n. \quad (11)$$

Фактически, понижение порядка происходит при переходе от уравнения Новикова (4) к проинтегрированному уравнению (9).

Исходное уравнение (4) имело порядок  $2n$  и содержало  $n + 1$  постоянную  $c_1, \dots, c_{n+1}$ . Мы свели её к системе порядка  $n$ , содержащей  $2n + 1$  постоянную  $e_1, \dots, e_{2n+1}$ . При замене ничего не потерялось.

Потенциал  $u$  восстанавливается по  $e_j, y_j$  согласно формуле

$$4u = 2y_1 + \dots + 2y_n - e_1 - \dots - e_{2n+1}, \quad (12)$$

что следует прямо из (9).

Кроме системы (11) по  $x = t_1$ , можно выписать системы, определяющие динамику по другим временам. Если  $\partial_{t_k}$  отвечает многочлену  $A^{(k)} = \frac{1}{2}\mu^k - \dots - a_k$  в линейной задаче, то  $Q$  удовлетворяет уравнению

$$Q_{t_k} = 2(A^{(k)}Q_x - A_x^{(k)}Q). \quad (13)$$



Подставляя  $\mu = y_j$ , получаем  $Q_{t_k}|_{\mu=y_j} = 2A^{(k)}Q_x|_{\mu=y_j}$ , то есть

$$\frac{y_{j,t_k}}{\sqrt{P(y_j)}} = \frac{2A^{(k)}(y_j)}{\prod_{i \neq j} (y_j - y_i)}, \quad j = 1, \dots, n.$$

Так как  $Q = CA$ , то  $A^{(k)}$  — это линейные комбинации  $q_i$ . В свою очередь, все  $q_i$  выражаются через симметрические многочлены от корней  $y_j$ , что даёт замкнутую систему.

В частности, дифференцированию  $\partial_t$  в силу КдФ отвечает  $A^{(2)} = \frac{1}{2}\mu - u$ , поэтому

$$\frac{y_{j,t}}{\sqrt{P(y_j)}} = \frac{y_j - 2u}{\prod_{i \neq j} (y_j - y_i)}, \quad j = 1, \dots, n, \quad (14)$$

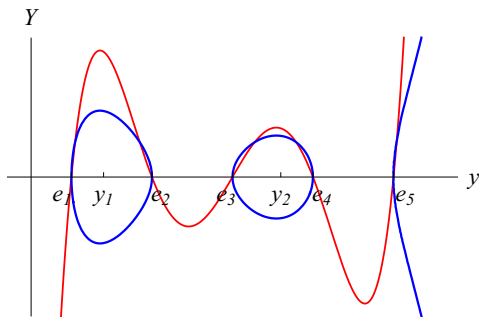
где  $u$  задано формулой (12).

# Качественное поведение решения

Будем предполагать, что все корни  $e_k$  различны и вещественны. Пусть

$$e_1 < e_2 < \dots < e_{2n+1}.$$

Чтобы решение системы было вещественным, нужно, чтобы все переменные  $y_j$  лежали в тех интервалах, где  $P(y) \geq 0$ , то есть,  $[e_{2k-1}, e_{2k}]$ ,  $k = 1, \dots, n$ , или  $[e_{2n+1}, \infty)$ .



Синяя линия — кривая  $Y^2 = P(y)$ , красная — сам многочлен  $Y = P(y)$ .

Если начальные условия для  $y_i$  и  $y_j$  попадут в один интервал, в решении возникнет особенность из-за знаменателя  $y_i - y_j$  в правой части (11).

Также, решение будет неограниченным, если какая-то переменная лежит в интервале  $[e_{2n+1}, \infty)$ . Таким образом, для вещественности и ограниченности решения следует задавать начальные условия для  $y_j$  так:

$$e_1 \leq y_1 \leq e_2 < e_3 \leq y_2 \leq e_4 < \dots < e_{2n-1} \leq y_n \leq e_{2n} < e_{2n+1}.$$

В этом случае переменные  $y_j$  отделены друг от друга и никаких особенностей в системе (11) возникнуть не может.

Переменные  $y_j$  крутятся каждая в своем овале, поэтому из формулы (12) ясно, что решение представляет собой ограниченную, квазипериодическую функцию по  $x$  и  $t$ .

Случай, когда все пары корней  $e_{2k}$  и  $e_{2k+1}$  сливаются, отвечает  $n$ -солитонному вырождению (конечно, возможны случаи, когда сливаются не все пары, тогда получается солитонное решение на конечнозонном фоне).

**Замечание 4.** Возвращаясь к  $\psi$ -функциям, можно доказать, что они строятся по формуле

$$\psi(x, \lambda) = Q(-4\lambda)^{1/2} \exp\left(\pm\sqrt{P(-4\lambda)} \int_{x_0}^x \frac{ds}{2Q(-4\lambda)}\right). \quad (15)$$

Рассмотрим последовательность интервалов, на которых  $P$  меняет знак.

При тех  $\mu$ , для которых  $P(\mu) < 0$  имеем экспоненту с мнимым показателем и регулярным подынтегральным выражением (поскольку нули  $A$  лежат там, где  $P \geq 0$ ). Следовательно, для таких  $\mu$  существует пара ограниченных, осциллирующих  $\psi$ -функций. Такие интервалы, следовательно, относятся к непрерывному спектру, они называются *разрешенными (стабильными) зонами*.

Дополнительные интервалы (в которых лежат нули  $y_j$ ) называются *запрещенными зонами*, отвечающие им  $\psi$ -функции растут на одной или другой бесконечности.

Для ограниченного потенциала общего вида число чередующихся стабильных и нестабильных зон бесконечно. Решения уравнения Новикова характеризуются тем, что это число конечно, что и объясняет название.

# Интегрирование в квадратурах

В элементарных функциях уравнения Дубровина не решаются. Мы видели, что при  $n = 1$  ответ записывается неявно через неполный эллиптический интеграл, обращение которого — эллиптическая функция.

При  $n = 2$  имеем ( $2E = e_1 + \dots + e_5$ ,  $Y = y_1 + y_2$ ,  $4u = 2Y - E$ )

$$\begin{cases} \frac{y_{1,x}}{\sqrt{P(y_1)}} = \frac{1}{y_1 - y_2}, & \frac{y_{1,t}}{\sqrt{P(y_1)}} = \frac{E - y_2}{y_1 - y_2}, \\ \frac{y_{2,x}}{\sqrt{P(y_2)}} = \frac{1}{y_2 - y_1}, & \frac{y_{2,t}}{\sqrt{P(y_2)}} = \frac{E - y_1}{y_2 - y_1}. \end{cases}$$

Зафиксируем произвольную точку  $y_0$  и определим функции

$$F_k(y_1, y_2) = \int_{y_0}^{y_1} \omega_k + \int_{y_0}^{y_2} \omega_k, \quad k = 0, 1,$$

где  $\omega_k = \frac{y^k dy}{\sqrt{P(y)}}$  (абелевы дифференциалы).

Несложно проверить, что

$$F_{0,x} = \frac{1}{y_1 - y_2} + \frac{1}{y_2 - y_1} = 0,$$

$$F_{1,x} = \frac{y_1}{y_1 - y_2} + \frac{y_2}{y_2 - y_1} = 1,$$

$$F_{0,t} = \frac{E - y_2}{y_1 - y_2} + \frac{E - y_1}{y_2 - y_1} = 1,$$

$$F_{1,t} = \frac{y_1(E - y_2)}{y_1 - y_2} + \frac{y_2(E - y_1)}{y_2 - y_1} = E,$$

то есть

$$F_0(y_1, y_2) = t + \delta_0, \quad F_1(y_1, y_2) = x + Et + \delta_1$$

— это два дополнительных первых интеграла (неавтономных).

Задача решена, в том смысле, что она сведена к разрешению этих неявных уравнений относительно  $y_1, y_2$ , после чего решение КдФ находится по формуле  $u = (2y_1 + 2y_2 - E)/4$ .

Для произвольного  $n$  имеем

$$2E = e_1 + \dots + e_{2n+1}, \quad Y = y_1 + \dots + y_n, \quad 4u = 2Y - E$$

$$\frac{y_{j,x}}{\sqrt{P(y_j)}} = \frac{1}{\prod_{s \neq j} (y_j - y_s)}, \quad \frac{y_{j,t}}{\sqrt{P(y_j)}} = \frac{E - Y + y_j}{\prod_{s \neq j} (y_j - y_s)}.$$

Определим

$$F_k(y_1, \dots, y_n) = \sum_{j=1}^n \int_{y_0}^{y_j} \frac{y^k dy}{\sqrt{P(y)}}, \quad k = 0, \dots, n-1.$$

Имеют место следующие элементарные алгебраические тождества:

$$\sum_{j=1}^n \frac{y_j^k}{\prod_{s \neq j} (y_j - y_s)} = \begin{cases} 0 & k = 0, \dots, n-2, \\ 1 & k = n-1, \\ Y & k = n. \end{cases} \quad (16)$$

Отметим, что их можно продолжить и для  $k > n$ , при этом в правой части возникают некоторые симметрические многочлены от  $y_j$ , например, при  $k = n+1$  получается  $\sum y_j^2 + \sum_{i < j} y_i y_j$  и так далее. Однако, нам достаточно  $k \leq n$ .

Из этих тождеств следует, что

$$F_{0,x} = \cdots = F_{n-2,x} = 0, \quad F_{n-1,x} = 1,$$

$$F_{0,t} = \cdots = F_{n-3,t} = 0, \quad F_{n-2,t} = 1, \quad F_{n-1,t} = E.$$

Следовательно, ответ в квадратурах получен и задача сведена к разрешению неявных уравнений

$$F_0 = \delta_0, \dots, F_{n-3} = \delta_{n-3}, F_{n-2} = t + \delta_{n-2}, F_{n-1} = x + Et + \delta_{n-1},$$

где  $F_i$  зависят от  $y_1, \dots, y_n$ .

Осуществление этого последнего шага может быть сделано конструктивно, но это выходит за рамки нашей лекции. Опишем лишь примерно, что происходит.

Так как  $\sqrt{P(y)}$  имеет точки ветвления, то значения интегралов  $F_k$  зависят от пути интегрирования, то есть, это многозначные функции. Правильно понимать их, как симметрические функции от  $n$  точек  $(y_j, \sqrt{P(y_j)})$  на римановой поверхности гиперэллиптической кривой

$$\Gamma : Y^2 = P(y).$$



На этой поверхности есть  $2n$  независимых циклов, при обходе вдоль которых значения интегралов от абелевых дифференциалов меняются на некоторые периоды. В результате, вектор  $(F_0, \dots, F_{n-1})$  лежит на  $2n$ -мерном торе, который называется многообразием Якоби гиперэллиптической кривой (обобщение параллелограмма периодов для эллиптических функций).

Преобразование  $(y_1, \dots, y_n) \rightarrow (F_0, \dots, F_{n-1})$  осуществляет отображение Абеля

$$\Gamma^n / S_n \rightarrow \mathbb{C}^{2n} / \Lambda,$$

где  $S_n$  — симметрическая группа,  $\Lambda$  — решетка периодов. Задача построения обратного отображения решается при помощи тета-функций на многообразии Якоби — они определяются рядами вида

$$\theta(z; B) = \sum_{m \in \mathbb{Z}^n} \exp((m^t B m + 2z^t m)\pi i), \quad z \in \mathbb{C}^n,$$

где  $B$  — некоторая матрица размера  $n \times n$  (при  $n = 1$  получается (6)).

- Б.А. Дубровин. Тэта-функции и нелинейные уравнения. *УМН* **36:2** (1981) **11–80**.
- Дж. Спрингер. Введение в теорию римановых поверхностей. М.: Мир, 1960.
- Д. Мамфорд. Лекции о тэта-функциях. М.: Мир, 1988.

# Домашнее задание

**5.1.** Проверьте, что если  $\psi$ ,  $\phi$  удовлетворяют уравнениям

$$\psi_{xx} = (u - \lambda)\psi, \quad \psi_t = -a_x\psi + 2a\psi_x,$$

то  $Q = \psi\phi$  удовлетворяет (9). Чему при этом равно  $P$ ? Используйте это для обоснования того, что  $P$  не зависит от  $x$  и  $t$ , а также того, что многосолитонным решениям отвечает случай, когда  $P$  имеет кратные корни.

**5.2.** В условиях предыдущей задачи, проверьте, что

$$Q_t = 2(aQ_x - a_xQ),$$

что подтверждает уравнение (13).

**5.3.** Докажите (с учетом предыдущих задач) формулу (15).

**5.4.** Докажите тождества (16).